

*Лекция 10. Электромагнитная  
индукция*

## *Вопросы:*

- Закон Фарадея. Правило Ленца
- Физическая природа электромагнитной индукции
- Самоиндукция
- Взаимная индукция
- Вихревые токи
- Плотность энергии магнитного поля
- Энергия и силы в магнитном поле. Магнитное давление

# Закон Фарадея. Правило Ленца

- Открытие Фарадея

В 1831 г. Майкл Фарадей обнаружил, что в замкнутом проводящем контуре при изменении магнитного потока (т. е. потока вектора  $\mathbf{B}$ :  $\Phi = \mathbf{B} \cdot \mathbf{S}$ ), охватываемого этим контуром, возникает электрический ток – последний назвали **индукционным током** ( $I_i$ ). Само это явление было названо **электромагнитной индукцией**.

Появление индукционного тока означало, что при изменении магнитного потока – в контуре возникает **Э.Д.С. индукции**  $E_i$ . При этом было отмечено, что величина Э.Д.С. совершенно не зависит от того, каким образом произошло изменение потока  $\Phi$ , и определяется лишь скоростью его изменения, т. е. величиной  $d\Phi/dt$ , и, соответственно, закон Фарадея получил аналитическое выражение:

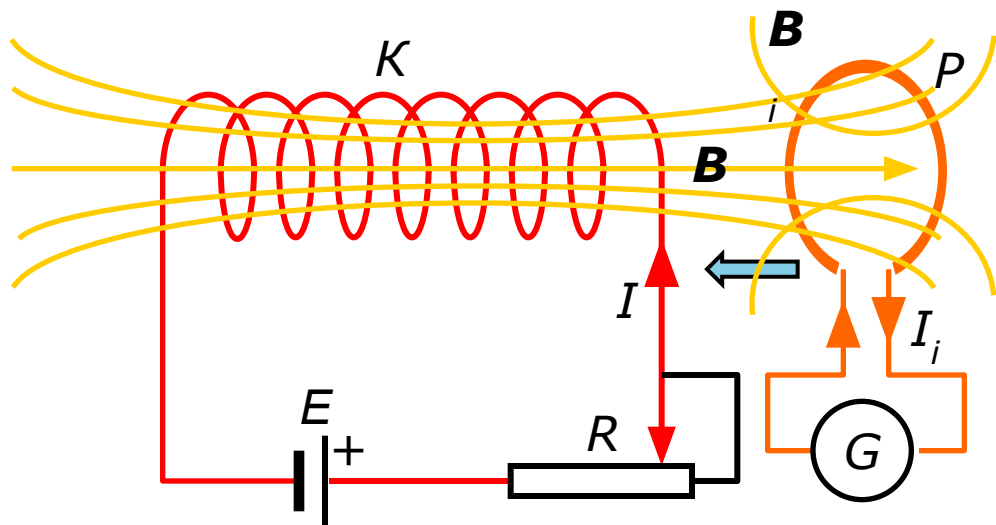
$$E_i = - \frac{d\Phi}{dt} \quad (1)$$

# Закон Фарадея. Правило Ленца

- Открытие Фарадея

Фарадей обнаружил, что индукционный ток (см. рис.) можно вызвать двумя различными способами:

- 1) перемещением рамки  $P$  (или ее отдельных частей – деформация рамки) в постоянном магнитном поле  $\mathbf{B}$  неподвижной катушки  $K$ ;
- 2) изменением магнитного поля  $\mathbf{B}$  (за счет движения катушки  $K$ , или вследствие изменения тока  $I$  в ней, или в результате того и другого вместе) при неподвижной рамки  $P$ .



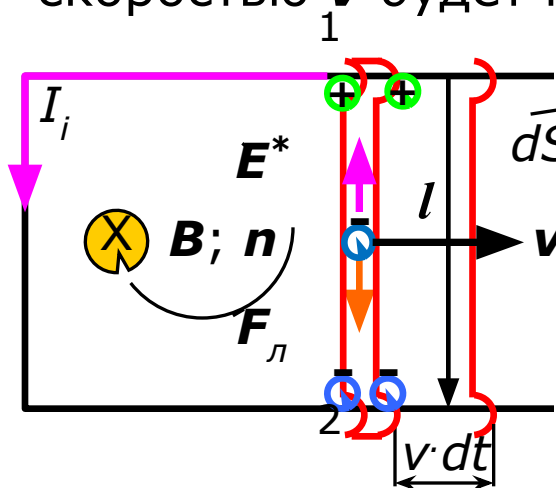
$\mathbf{B}_i$  – магнитное поле индукционного тока противодействует полю  $\mathbf{B}$ .

- Правило Э.Х. Ленца

Правило устанавливает направление индукционного тока (а, следовательно, и знак  $E_i$ ). Оно гласит: индукционный ток всегда направлен так, чтобы противодействовать причине, его вызывающей.

# Физическая природа электромагнитной индукции

Рассмотрим контур с подвижной перемычкой длины  $l$ , который находится в однородном постоянном магнитном поле  $\mathbf{B}$ , перпендикулярном плоскости контура и направленном за плоскость рисунка. Начнем двигать перемычку вправо со скоростью  $\mathbf{v}$ ; с этой же скоростью будут двигаться и носители тока в перемычке – электроны. Тогда на каждый электрон начнет действовать вдоль перемычки магнитная сила Лоренца, направленная вниз:  $\mathbf{F}_\text{л} = -e(\mathbf{v} \times \mathbf{B})$ . Произойдет перераспределение носителей в перемычке (внизу накопятся электроны, а вверху образуется избыток положительных ионов); в контуре появится ток – индукционный ток, направленный «вверх» – против часовой стрелки. И, если движение перемычки со скоростью  $\mathbf{v}$  будет продолжаться, то и индукционный ток будет



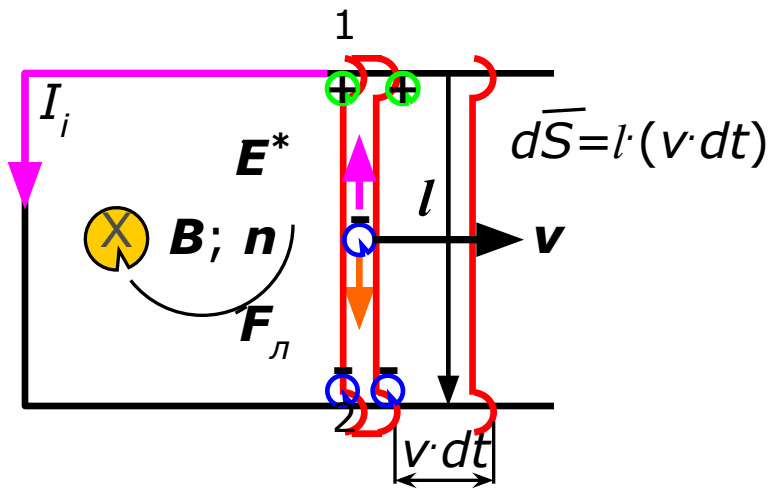
поддерживаться в контуре. Следовательно, сила  $\mathbf{F}_\text{л}$  здесь играет роль сторонней силы, и ей соответствует поле сторонних сил:  $\mathbf{E}^* = \mathbf{F}_\text{л} / -e = (\mathbf{v} \times \mathbf{B})$ , где  $(\mathbf{v} \times \mathbf{B})$  постоянный вектор. Так как циркуляция вектора  $\mathbf{E}^*$  определяет э.д.с. в контуре, то здесь имеем 
$$E_i = \oint_1^2 (\mathbf{v} \times \mathbf{B}) dl = (\mathbf{v} \times \mathbf{B}) \cdot \int_1^2 dl$$

# Физическая природа электромагнитной индукции

Получаем  $E_i = (\mathbf{v} \times \mathbf{B}) \cdot \mathbf{l}$ ; произведем циклическую перестановку для смешанного произведения трех векторов в последнем выражении для э.д.с.:  $E_i = \mathbf{B} \cdot (\mathbf{l} \times \mathbf{v})$ . Умножим и разделим последнее на промежуток времени  $dt$ , т. е. имеем

$$E_i = \frac{\mathbf{B} \cdot (\mathbf{l} \times \mathbf{v} \cdot dt)}{dt}, \text{ где } (\mathbf{l} \times \mathbf{v} \cdot dt) = -\mathbf{n} \cdot d\mathbf{S}. \text{ В результате получаем}$$

$$\text{доказываемое выражение } E_i = -\frac{\mathbf{B} \cdot \mathbf{n} \cdot d\mathbf{S}}{dt} = -\frac{\overline{\mathbf{B}} \cdot d\overline{\mathbf{S}}}{dt} = -\frac{d\Phi}{dt}.$$



При данном выборе направления  $\mathbf{n}$  (по магнитному полю) знак  $d\Phi/dt$  – положительный, а знак  $E_i$  – отрицательный (индукционный ток  $I_i$  также отрицательный).

*Замечание:* Идея схемы, представленной на рисунке, лежит в основе действия всех индукционных генераторов тока (динамо-машины).

# Самоиндукция

Возникновение э.д.с. индукции в контуре, по которому течет изменяющийся во времени ток, называется явлением **самоиндукции**.

Это также объясняется с позиций закона Фарадея... Электрический ток, текущий в любом контуре, создает пронизывающий этот же контур магнитный поток  $\Phi = B \cdot S$ , который, как видно из экспериментов, будет пропорционален самому току, т. е.

$$\Phi = L \cdot I \quad (2)$$

где  $L$  – коэффициент пропорциональности, называемый **индуктивностью** контура.

В соответствии с правилом знаков для магнитного потока  $\Phi$  и силы тока  $I$ , эти величины всегда имеют одинаковые знаки, а, следовательно, индуктивность  $L$  – величина положительная. Индуктивность зависит от формы и размеров контура, а также от магнитных свойств окружающей среды ( $\mu$ ). Если контур жесткий и поблизости нет ферромагнетиков, то  $L = \text{const}$  и не зависит от тока. Размерность в СИ для  $L$  – [Гн].

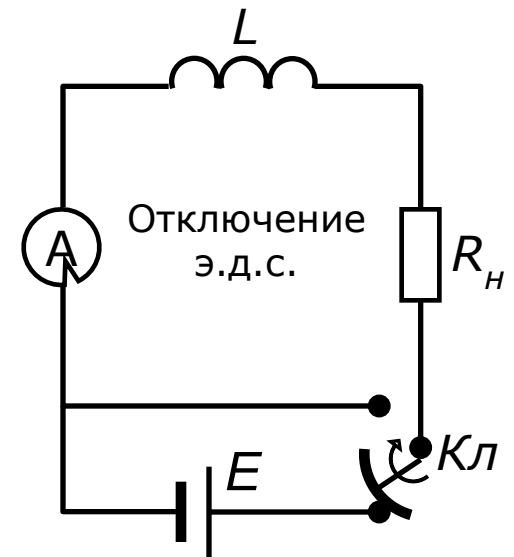
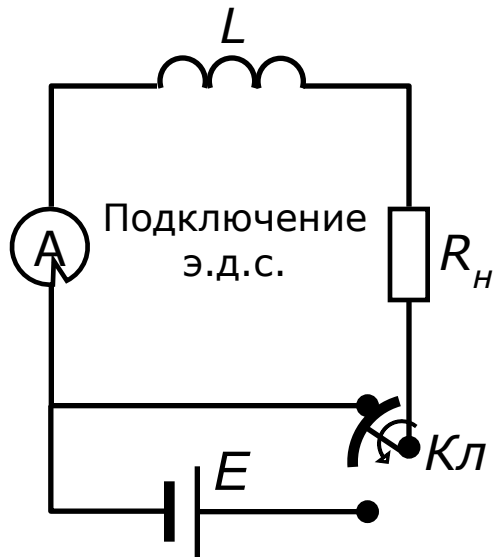
Таким образом, при изменении тока  $I$  в контуре согласно (1) возникает **э.д.с. самоиндукции**:

$$E_S = - \frac{d\Phi}{dt} = - \frac{d(L \cdot I)}{dt} = -L \cdot \frac{dI}{dt} \quad (3)$$

где  $L = \text{const}$ .

# Самоиндукция

Характерные процессы самоиндукции наблюдаются при замыкании и размыкании электрических цепей, содержащих индуктивность  $L$  и сопротивление  $R_H$ . Так установление тока в реальных цепях происходит после соответствующей коммутации – не мгновенно, а за определенный промежуток времени (см. график).



*Пример:* Возникновение электрических дуг между контактами выключателя в цепях с большими реактивными нагрузками (обмотки электромагнитов).

# Самоиндукция

- Расчет индуктивности реальных контуров

Для расчета индуктивности катушки с сердечником из материала с заданной проницаемостью  $\mu$  определяется потокосцепление с этим контуром, т. е.  $\Psi = N \cdot (B \cdot S)$ , где  $N$  – число витков в катушке,  $S$  – площадь контура (по его среднему сечению). А затем определяется индуктивность по формуле:  $L = \Psi / I$ .

*Пример:* Расчет индуктивности длинного соленоида с сердечником ( $\mu$ ).

1) Определяем индукцию магнитного поля в соленоиде:

$B = \mu \cdot \mu_0 \cdot H$ , где напряженность поля соленоида  $H = n \cdot I = N / l \cdot I$  ( $N$  – полное число витков,  $l$  – длина соленоида).

Таким образом,  $B = \mu \cdot \mu_0 \cdot (N / l) \cdot I$  ;

2) Определяем потокосцепление с соленоидом:

$\Psi = N \cdot (\mu \cdot \mu_0 \cdot N / l \cdot I) \cdot S$  , а с учетом, что объем соленоида  $V = S \cdot l$ , получаем  $\Psi = \mu \cdot \mu_0 \cdot N^2 / l^2 \cdot V \cdot I = \mu \cdot \mu_0 \cdot n^2 \cdot V \cdot I$  ;

3) Рассчитываем индуктивность:

$L = \Psi / I = \mu \cdot \mu_0 \cdot n^2 \cdot V$  .

# Взаимная индукция

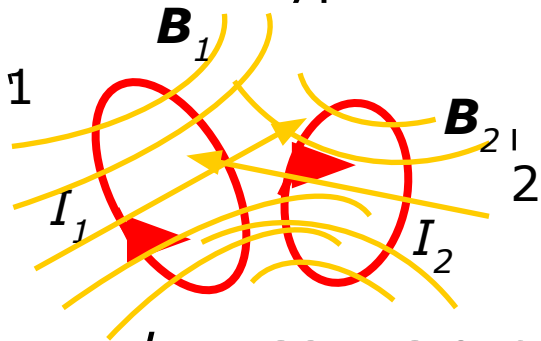
Рассмотрим два неподвижных контура 1 и 2, расположенных достаточно близко друг от друга. Если в контуре 1 течет ток  $I_1$ , то он создает через контур 2 полный магнитный поток (в случае отсутствия ферромагнетиков)  $\Phi_2 = L_{21} \cdot I_1$ . При изменении тока  $I_1$  во времени в контуре 2 наводится э.д.с. индукции:

$$E_{i2} = -L_{21} \cdot dI_1/dt \quad (4)$$

Аналогично, при протекании тока  $I_2$  в контуре 2 возникает сцепленный с контуром 1 магнитный поток  $\Phi_1 = L_{12} \cdot I_2$ , а при изменениях тока  $I_2$  в контуре 1 индуцируется э.д.с.:

$$E_{i1} = -L_{12} \cdot dI_2/dt \quad (5)$$

Контуры 1 и 2 в этом случае называются **связанными**.



Явление возникновения э.д.с. в одном из связанных контуров при изменениях силы тока в другом контуре называется **взаимной индукцией**.

Коэффициенты пропорциональности  $L_{12}$  и  $L_{21}$  называются **взаимной индуктивностью контуров**. Соответствующий расчет дает, что в отсутствии ферромагнетиков эти коэффициенты всегда равны:  $L_{12} = L_{21}$ .

# Взаимная индукция

Часто последнее свойство взаимной индуктивности называют теоремой взаимности. Смысл равенства  $L_{12} = L_{21}$  состоит в том, что в любом случае поток  $\Phi_1$  сквозь контур 1, созданный током  $I$  в контуре 2, равен потоку  $\Phi_2$  сквозь контур 2, созданному таким же током  $I$  в контуре 1.

*Замечание:* В отличие от собственной индуктивности контура  $L$ , которая всегда положительная величина, взаимная индуктивность  $L_{12}$  – величина алгебраическая (в частности, может равняться нулю). Это связано с тем, что поток  $\Phi_1$  и ток  $I_2$  относятся к разным контурам и их знаки зависят от выбора нормали  $\mathbf{n}_1$  к контуру 1 и направления обхода контура 2, которые в свою очередь должны вместе с обходом контура 1 и нормалью к контуру 2 – образовывать правовинтовые системы.

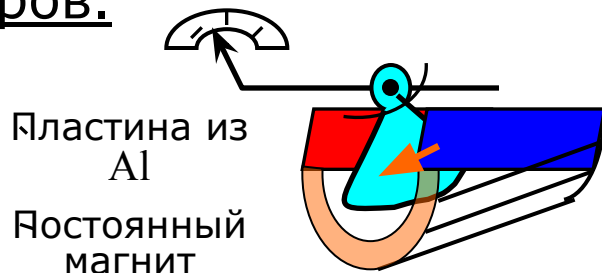
# Вихревые токи

**Вихревые токи** (или **токи Фуко**) – это индукционные токи, которые возбуждаются в сплошных массивных проводниках.

Электросопротивление массивного проводника – мало, поэтому токи Фуко могут достигать очень больших величин. В соответствии с правилом Ленца токи Фуко выбирают внутри проводника такие направления, чтобы своим действием возможно сильнее противиться причине, которая их вызывает.

- **Применения токов Фуко в технике**

*Пример 1:* Движущиеся в сильном магнитном поле хорошие проводники вследствие вихревых токов испытывают сильное торможение. Этим пользуются для демпфирования (успокоения) подвижных частей приборов.



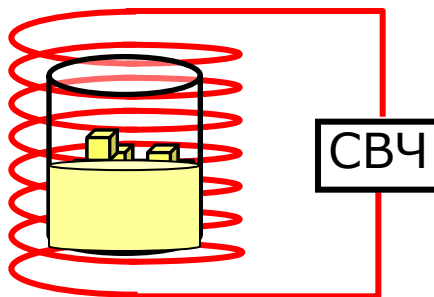
При вращении пластины на оси прибора в поле постоянного магнита возникают токи Фуко, которые тормозят всю подвижную систему прибора.

# Вихревые токи

- Применения токов Фуко в технике

*Пример 2:* Для плавки металлов в индукционных высокочастотных печах.

Здесь в массивную катушку (индуктор), питаемую высокочастотным током большой величины (сотни ампер), помещают керамический тигель с кусками переплавляемого металла. При включении установки куски металла достаточно быстро разогреваются интенсивными вихревыми токами до состояния плавления.

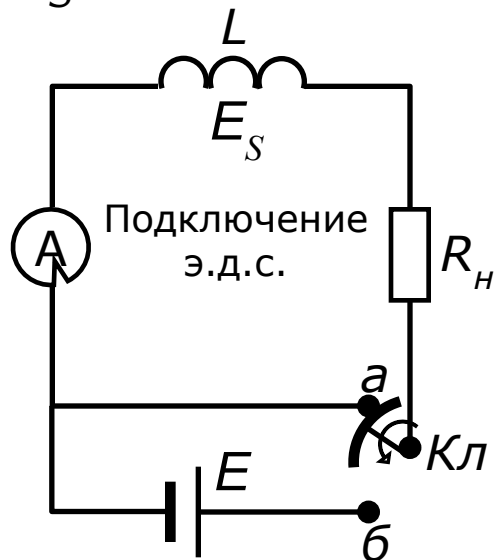


*Пример 3:* Борьба с паразитными токами Фуко в трансформаторных сердечниках.

Для уменьшения нагрева сердечников последние выполняют наборными из тонких пластин с изолирующим покрытием для увеличения сопротивления в возможных местах появления вихревых токов.

# Плотность энергии магнитного поля

Рассмотрим электрическую цепь, содержащую индуктивность  $L$  и сопротивление  $R_H$ , которую с помощью быстродействующего коммутатора  $Kл$  подключим (из  $a$  в  $б$ ) к источнику питания  $E$ . В таком замкнутом контуре начнет возрастать ток, а это приведет к появлению э.д.с. самоиндукции  $E_S$ . Тогда согласно закону Ома имеем  $R \cdot I = E + E_S$  или  $E = R \cdot I - E_S$ .



Найдем элементарную работу  $\delta A_{стор'}$ , которую совершают сторонние силы источника  $E$  за время  $dt$ , для этого умножим последнее уравнение на  $(I \cdot dt)$ :

$$E \cdot I \cdot dt = R \cdot I^2 \cdot dt - E_S \cdot I \cdot dt \quad (6)$$

С учетом смысла каждого слагаемого в уравнении (6) и закона Фарадея  $E_S = -d\Phi/dt$ , представим (6) как  $\delta A_{стор} = \delta Q + I \cdot d\Phi$ , где  $\delta Q$  – джоулево тепловыделение, а

$I \cdot d\Phi$  (так называемая дополнительная работа  $\delta A_{доп}$ ) определяет работу источника против э.д.с. самоиндукции. Далее будем считать, что вблизи контура нет ферромагнетиков, следовательно,  $d\Phi = L \cdot dI$  и получаем  $\delta A_{доп} = I \cdot d\Phi = L \cdot I \cdot dI$ .

# Плотность энергии магнитного поля

Проинтегрировав последнее выражение, получаем:

$$A_{\text{доп}} = \int \delta A_{\text{доп}} = (L \cdot I^2)/2 \quad (7)$$

Таким образом, часть работы источника питания ( $A_{\text{доп}}$ ) идет на «создание» магнитного поля, т.е. превращается в энергию магнитного поля, обусловленного протеканием тока в катушке с индуктивностью  $L$ . Иначе говоря, в отсутствие ферромагнетиков контур с  $L$ , по которому течет ток  $I$ , обладает энергией:

$$W = (L \cdot I^2)/2 = (I \cdot \Phi)/2 = \Phi^2/(2L) \quad (8)$$

Эту энергию называют *магнитной энергией тока* или *собственной энергией контура с током*. Она может быть целиком превращена во внутреннюю энергию проводников (нагрев  $R_H$ ), если отключить источник  $E$ , быстро повернув ключ  $Kл$  в положение  $a$ .

Для длинного соленоида: индуктивность  $L = \mu\mu_0 n^2 V$ , где  $n$  – число витков на единицу длины,  $V$  – объем соленоида; имеем  $W = (L \cdot I^2)/2 = \mu\mu_0 n^2 \cdot I^2 \cdot V/2$ , а с учетом, что  $n \cdot I = H = B/(\mu\mu_0)$ , получаем  $W = \mu\mu_0 H^2/2 \cdot V = B^2/(2\mu\mu_0) \cdot V = (\mathbf{B} \cdot \mathbf{H})/2 \cdot V$ .

Выражения  $w = \mu\mu_0 H^2/2 = B^2/(2\mu\mu_0) = (\mathbf{B} \cdot \mathbf{H})/2$  (9) определяют *объемную плотность энергии магнитного поля*.

# Плотность энергии магнитного поля

Зная плотность энергии магнитного поля в каждой точке, можно определить энергию поля, заключенную в любом объеме  $V$ :

$$W = \int (\mathbf{B} \cdot \mathbf{H}) / 2 \cdot dV \quad (10)$$

*Замечание:* Часто приходится использовать «энергетический» метод при нахождении индуктивности контура (когда вычисление магнитного потока через контур затруднительно), т. е.

$$L = 1/I^2 \cdot \int B^2 / (\mu\mu_0) \cdot dV \quad (11)$$

В случае наличия  $N$  - связанных контуров с токами  $I_1, I_2, \dots, I_N$  можно показать, что энергия магнитного поля такой системы токов (в отсутствии ферромагнетиков) определяется:

$$W = 1/2 \sum_{i,k=1}^N L_{ik} \cdot I_i \cdot I_k \quad (12)$$

где  $L_{ik} = L_{ki}$  - взаимная индуктивность  $i$ -го и  $k$ -го контуров,  $L_{ii} = L_i$  - собственная индуктивность  $i$ -го контура.

# Энергия и силы в магнитном поле.

## Магнитное давление

Наиболее общим методом определения сил в магнитном поле является энергетический, при этом используют выражение (12) для энергии магнитного поля.

Для случая двух контуров с токами  $I_1$  и  $I_2$  магнитную энергию можно представить как:

$$W = 1/2(I_1 \cdot \Phi_1 + I_2 \cdot \Phi_2) \quad (13)$$

где  $\Phi_1 = L_1 \cdot I_1 + L_{12} \cdot I_2$ ,  $\Phi_2 = L_2 \cdot I_2 + L_{21} \cdot I_1$  – полные магнитные потоки через контура 1 и 2 соответственно.

Согласно закону сохранения энергии элементарная работа  $\delta A^*$ , которую совершают источники тока, включенные в эти контура, идет: на теплоту  $\delta Q$ , на приращение магнитной энергии системы  $dW$  (в ходе движения контуров или при изменении токов в них), на механическую работу  $\delta A_{\text{мех}}$  (при перемещении или деформации контуров), т. е.

$$\delta A^* = \delta Q + dW + \delta A_{\text{мех}}$$

Нас интересует только работа источников против э.д.с. индукции и самоиндукции в каждом контуре, т. е. дополнительная работа:  $\delta A_{\text{доп}} = - (E_{i1} + E_{S1}) \cdot I_1 \cdot dt - (E_{i2} + E_{S2}) \cdot I_2 \cdot dt$ , а с учетом, что  $(E_i + E_S) = - d\Phi/dt$ , получаем  $\delta A_{\text{доп}} = I_1 \cdot d\Phi_1 + I_2 \cdot d\Phi_2$ .

# Энергия и силы в магнитном поле. Магнитное давление

Именно дополнительная работа источников идет на приращение магнитной энергии и на механическую работу, таким образом имеем:

$$I_1 \cdot d\Phi_1 + I_2 \cdot d\Phi_2 = dW + \delta A_{\text{мех}} \quad (14)$$

Формула (14) является основной для расчета  $\delta A_{\text{мех}}$ , а затем и сил в магнитном поле, используя определение работы  $\delta A = \mathbf{F} \cdot d\mathbf{l}$ .

В итоге сила в магнитном поле определяется производными:

$$F = - dW_{\Phi} / dl = dW_I / dl \quad (15)$$

где  $dW_{\Phi}$  - приращение магнитной энергии в случае  $\Phi_{1;2} = \text{const}$ , а  $dW_I$  - приращение магнитной энергии в случае  $I_{1;2} = \text{const}$ .

*Замечание:* Так из формулы (13) для случая постоянных токов в контурах:  $dW_I = \frac{1}{2}(I_1 \cdot d\Phi_1 + I_2 \cdot d\Phi_2)$ .

# Энергия и силы в магнитном поле.

## Магнитное давление

### Магнитное давление

Если представить, что радиус сечения соленоида, по обмотке которого течет постоянный ток  $I$ , увеличился на  $dr$ , то в этом случае силы Ампера совершили работу:

$$\delta A_{\text{мех}} = dW_I = p \cdot S \cdot dr,$$

где  $p$  – давление,  $S$  – боковая поверхность соленоида.

С другой стороны, при  $\mu = 1$  имеем приращение энергии магнитного поля  $dW_I = d(B^2/2\mu_0 \cdot V) = B^2/2\mu_0 \cdot S \cdot dr$ , где  $B = \text{const}$ , так как  $I = \text{const}$ .

Сопоставляя первое и второе выражения для  $dW_I$ , заключаем, что *магнитное давление* можно определить как:

$$p = B^2/2\mu_0 \quad (16)$$

Выражение (16) можно обобщить на случай, когда по разные стороны от поверхности с током (током проводимости или током намагничивания) магнитное поле разное  $\mathbf{B}_1$  и  $\mathbf{B}_2$ :

$$p = \left| \frac{\overline{B}_1 \cdot \overline{H}_1}{2} - \frac{\overline{B}_2 \cdot \overline{H}_2}{2} \right| \quad (17)$$